

مکالمہ

۱۸۹۷

دانشکده فنی و مهندسی
گروه عمران

دانشکده فنی و مهندسی

گروه عمران

پایان نامه

برای دریافت درجه کارشناسی ارشد

عمران گرایش خاک و پی

محاسبه ظرفیت باربری جانبی شمع با استفاده از شبکه های عصبی مصنوعی

استادان راهنمای

دکتر رضا پورحسینی

دکتر مهدی فلاح

استاد مشاور

دکتر گاظم برخورداری

امیر اطلاعات امنیتی
تمثیلی مرکز

۱۳۸۸/۷/۱

پژوهش و نگارش

محمد آهور

پاییز ۸۷

۱۲۶۹۸۶

تّقدیم به:

پروردگار

آنکه حقیقت من، اخلاق من و نام من درست آنان است و چنین یادگرفته‌ام که وجودم را از

چشمان آهنا بینم

سپاسگزاری

ستایش و سپاس خدای را که به بنده‌ی کمترین خود مجالی دیگر برای بهره‌مندی از گوشه‌ی ای از اقیانوس بی‌کران علم خود داد و در این راه حمایت و راهنمایی‌های جناب آقایان دکتر مهدی فلاح و دکتر رضا پورحسینی سرمایه‌ای بزرگ برای اینجانب بود. چه اگر پی‌گیری و هدایت‌های ایشان نبود سختی راه دو چندان می‌نمود. این سپاس از یکایک اساتیدی است که در راه دانش‌آندوزیم سهیم بوده‌اند علی الخصوص استاد مشاور اینجانب جناب آقای دکتر کاظم برخورداری که در محضر ایشان درس علم آموختم. سپاس از پدرم که مهرش بنایی شد برای کسب دانش و مادرم که مهرش در دلم گرامی و مقدس است. از کارشناسان محترم آموزش، خانم منظر قائم، خانم فتاحی و خانم پیرمحمدزاده سپاسگزارم. از دوست عزیزم محمدحسن کلانتری و خانواده محترم ایشان نهایت امتنان را دارم. از دوستان بزرگوارم حامد رجائیان و رضا شایگان کمال تشکر و قدردانی دارم. در ادامه از دوستان عزیزم علیرضا امین، رسول رفیعی، امید عباسی، مرتضی کریم آبادی، طهماسب فلسفی، رضا شمس آبادی، هادی عزیزی، مازیار زارع پور، مجید توحیدی، علی پادرگانی، رضا هاشمی و مجتبی عابدیان نهایت تشکر و امتنان را دارم.

محمد آهور

۸۷-پائیز



مدیریت تحصیلات تکمیلی

صور تجلیسه دفاعیه پایان نامه دوره کارشناسی ارشد

جلسه دفاعیه پایان نامه تحصیلی آقای محمد آهور

دانشجوی کارشناسی ارشد دانشکده فنی مهندسی دانشگاه یزد، در رشته / گرایش: عمران - خاک

تحت عنوان «محاسبه ظرفیت باربری جانبی شمع با استفاده از شبکه های عصبی مصنوعی.»

و تعداد واحد: ۶ در تاریخ ۱۳۸۷/۹/۲۰

امضاء

نام و نام خانوادگی

با حضور اعضای هیات داوران متشکل از:

۱- استاد راهنمای

دکتر رضا پورحسینی - دکتر مهدی فلاح تقی

۲- استاد مشاور

دکتر کاظم برخورداری

۳- داور خارج از گروه

دکتر سید محمد تقی المدرسی

۴- داور داخل گروه

دکتر نادر عبدالی یزدی

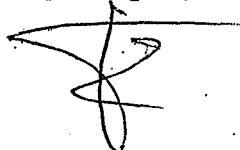
تشکیل گردید و پس از ارزیابی پایان نامه توسط هیات داوران، با درجه بر اتمام و نمره

به عدد ۱۷/۱۷ به حروف لغفره، بعضها در رسیده مورد تصویب قرار گرفت.

نماینده تحصیلات تکمیلی دانشگاه (ناظر)

نام و نام خانوادگی: دکتر علی دهقانی

امضاء:



چکیده

شبکه های عصبی قادر به مدل نگاشتهای غیر خطی اند و می توانند روابطی را که برای مشخص نیست درک کنند. در این تحقیق یک مدل شبکه عصبی برای تعیین ظرفیت باربری جانبی شمعهای صلب واقع در رس زهکشی نشده ارائه شده است. مشکل اصلی در تحلیل و طراحی شمعهای تحت بار جانبی رفتار غیر خطی جانبی خاک است زیرا مقاومت نهایی جانبی خاک به میزان حرکت جانبی شمع بستگی دارد. روشهای مختلفی برای مدل رفتار جانبی خاک ارائه شده است که هیچ یک اندرکنش خاک و شمع را در نظر نمی گیرند. مدل استفاده شده در این مقاله یک شبکه چند لایه پیش خور است که توابع محرک آن در لایه مخفی و خروجی توابع زیگموئید است. برای آموزش این شبکه از الگوریتم لونبرگ-سارکواردت استفاده شده است. از ۹ معیار مختلف برای مقایسه مدل شبکه عصبی و روشهای تجربی پیش‌بینی ظرفیت باربری جانبی شمع استفاده شده است: ماکریمم، مینیمم، میانگین و انحراف معیار میان ظرفیت باربری جانبی اندازه‌گیری شده و ظرفیت باربری جانبی پیش‌بینی شده، میانگین و انحراف معیار نسبت ظرفیت باربری جانبی پیش‌بینی شده به ظرفیت باربری جانبی اندازه‌گیری شده ، مجدور میانگین مربعات خطای میان ظرفیت باربری جانبی اندازه گیری شده و ظرفیت باربری پیش‌بینی شده و ضریب همبستگی میان ظرفیت باربری جانبی اندازه گیری شده و ظرفیت باربری پیش‌بینی شده و احتمال تجمعی برای. برای تعیین متغیرهای ورودی مهم از الگوریتمهای مختلف آنالیز حساسیت استفاده شد. برای نشان دادن اثر فیزیکی هر یک از پارامترهای ورودی بر خروجی شبکه یک دیاگرام تفسیر شبکه ارائه شد.

فهرست مطالب

۱	فصل اول (شمع تحت بار جانبی)
۲	۱-۱. مقدمه
۳	۲-۱. مکانیسم گسیختگی شمعهای تحت بار جانبی
۵	۳-۱. توزیع مقاومت جانبی خاک
۸	۴-۱. محاسبه ظرفیت باربری جانبی شمع
۹	۴-۲-۱. روش برینچ هانسن
۱۰	۴-۲-۲-۱. روش برامز
۱۱	۴-۲-۲-۲-۱. شمعهای واقع در رس
۱۷	۴-۲-۲-۲. شمعهای واقع در خاک دانه‌ای
۲۳	۴-۲-۳. پیش‌بینی بار-جایجاوی جانبی شمعهای تحت بار جانبی
۲۷	۴-۲-۴-۱. آنالیز غیر خطی (روش استفاده از منحنی‌های $p-y$)
۲۸	۴-۲-۴-۲. پیشینه علمی
۳۵	فصل دوم (پیش‌بینی ظرفیت باربری جانبی شمع با استفاده از شبکه عصبی مصنوعی)
۳۶	۱-۱. شبکه عصبی
۳۶	۱-۱-۱. سلول عصبی (نرون)
۳۷	۱-۱-۲. توابع محرک
۳۸	۱-۱-۲-۱. تابع محرک سیگموئید
۳۹	۱-۱-۲-۲. تابع محرک تانژانت هیپربولیک
۴۰	۱-۱-۲-۳. تابع محرک خطی
۴۱	۲-۱. انتشار برگشت خط
۴۲	۲-۲. نگاشت زوجهای آموزشی به حدود مناسب

۴۴	۴-۲. تعداد لایه های میانی
۴۵	۴-۳. تعداد نرونهاي لایه مخفی
۴۶	۴-۴. سنجش میزان یادگیری و عملکرد شبکه
۴۶	۴-۵. میانگین مریع خطاهای
۴۸	۴-۶. ضریب همبستگی بین خروجیهای حقیقی و خروجیهای شبکه عصبی
۵۰	۴-۷. تعمیم پذیری شبکه
۵۳	۴-۸. بیان مساله و روش حل آن
۶۰	۴-۹. آنالیز حساسیت
۶۷	۴-۱۰. دیاگرام تفسیر شبکه (NID)
۶۸	۴-۱۱. مدل شبکه عصبی داس و باسودهار
۷۰	۴-۱۲. آنالیز رگرسیون خطی
۷۳	فصل سوم (تحلیل آماری و نتایج)
۷۴	۴-۱۳. مقایسه روش‌های تجربی تعیین ظرفیت باربری جانبی شمع با شبکه عصبی
۷۴	۴-۱۴. تحلیل آماری
۷۷	۴-۱۵. روش هانسن
۷۹	۴-۱۶. روش برامز
۸۱	۴-۱۷. مدل شبکه عصبی داس و باسودهار
۸۲	۴-۱۸. مدل شبکه عصبی طراحی شده در این تحقیق
۸۴	۴-۱۹. احتمال تجمعی
۸۶	۴-۲۰. توزیع نرمال
۸۸	۴-۲۱. قضیه حد مرکزی
۸۹	۴-۲۲. آزمون یک ادعا درباره یک میانگین

۱-۴-۳. آزمون فرض آماری

۵-۳. نتیجه گیری

پیوست الف. تعیین ظرفیت باربری جانبی یک شمع با استفاده از روش‌های برامز و هانسن به انضمام برنامه کامپیوترا برای تعیین ظرفیت باربری جانبی شمع با استفاده از روش هانسن

پیوست ب. برنامه کامپیوترا جهت مدلسازی شبکه عصبی و خروجی‌های آن

پیوست ج. جدول توزیع نرمال استاندارد

منابع و مراجع

فهرست اشکال

- ۴ شکل ۱-۱. مکانیسم گسیختگی شمع کوتاه تحت بار جانبی. الف : شمع سر آزاد ب: شمع سر گیردار
- ۵ شکل ۱-۲. مکانیسم گسیختگی شمع بلند تحت بار جانبی. الف : شمع سر آزاد. ب: شمع سر گیردار
- ۶ شکل ۱-۳. توزیع مقاومت جانبی شمع واقع در خاک چسبنده
- ۷ شکل ۱-۴. تأثیر ضربب شکل و چسبنده‌گی بر روی ضربب مقاومت نهایی جانبی خاک
- ۸ شکل ۱-۵. ضربب K_{qz} در عمق Z برای شمعهای کوتاه تحت بار جانبی (هانسن ۱۹۶۱)
- ۱۰ شکل ۱-۶. دیاگرام توزیع تنش خاک ، نیروی برشی و ممان خمثی در روش برینچ هانسن
- ۱۲ شکل ۱-۷. دیاگرام توزیع تنش خاک و ممان خمثی در روش برامز برای شمعهای بلند واقع در رس
- ۱۴ شکل ۱-۸. دیاگرام توزیع تنش خاک و ممان خمثی در روش برامز برای شمعهای کوتاه واقع در رس
- ۱۵ شکل ۱-۹. دیاگرام توزیع تنش خاک و ممان خمثی در روش برامز برای شمعهای کوتاه سر گیردار واقع در رس
- ۱۶ شکل ۱-۱۰. دیاگرام توزیع تنش خاک و ممان خمثی در روش برامز برای شمعهای سر گیردار با طول متوسط واقع در رس
- ۱۷ شکل ۱-۱۱. دیاگرام توزیع تنش خاک و ممان خمثی در روش برامز برای شمعهای بلند سر گیردار واقع در رس
- ۱۸ شکل ۱-۱۲. دیاگرام توزیع تنش خاک و ممان خمثی در روش برامز برای شمعهای کوتاه سر آزاد واقع در خاک دانه‌ای
- ۱۹ شکل ۱-۱۳. دیاگرام توزیع تنش خاک و ممان خمثی در روش برامز برای شمعهای بلند سر آزاد واقع در خاک دانه‌ای
- ۲۰ شکل ۱-۱۴. دیاگرام توزیع تنش خاک و ممان خمثی در روش برامز برای شمعهای کوتاه سر گیردار واقع در خاک دانه‌ای
- ۲۱ شکل ۱-۱۵. دیاگرام توزیع تنش خاک و ممان خمثی در روش برامز برای شمعهای متوسط سر گیردار واقع در خاک دانه‌ای

شکل-۱۶. دیاگرام توزیع تنفس خاک و ممان خمسمی در روش برآمز برای شمعهای بلند سرگیردار واقع در ۲۲
خاک دانه‌ای

شکل-۱۷. تعیین معادلات حاکم بر شمع: المانی از شمع در عمق Z خاک ۲۴

شکل-۱. ساختار یک سلول عصبی (نرون) و تابع تحریک ۳۷

شکل-۲. تابع محرک سیگموئید ۳۸

شکل-۲-۳. تابع محرک تانزانت هیپربولیک ۳۹

شکل-۲-۴. تابع محرک خطی ۴۰

شکل-۲-۵. توقف زودهنگام شبکه برای جلوگیری از آموزش مبالغه‌ای ۵۴

شکل-۲-۶. میانگین مریع خطای داده‌های آموزش و تست برای ساختارهای با دو نرون در لایه مخفی ۵۹

شکل-۲-۷. نمودار شبکه عصبی طراحی شده در این تحقیق ۶۰

شکل-۲-۸. میانگین مریع خطای داده‌های آموزش و تست مورد استفاده در آنالیز حساسیت برای ساختارهای با دو نرون در لایه مخفی ۶۶

شکل-۲-۹. دیاگرام NID برای شبکه عصبی طراحی شده در این تحقیق ۶۸

شکل-۲-۱۰. نمودار شبکه عصبی طراحی شده توسط داس و باسودهار ۷۰

فصل سوم

شکل-۳-۱. نمودار ظرفیت باربری جانبی پیش‌بینی شده توسط روش هانسن نسبت به ظرفیت باربری جانبی واقعی برای داده‌های مورد استفاده قرار گرفته در آموزش شبکه ۷۷

شکل-۳-۲. نمودار ظرفیت باربری جانبی پیش‌بینی شده توسط روش هانسن نسبت به ظرفیت باربری جانبی واقعی برای داده‌های مورد استفاده قرار گرفته در تست شبکه ۷۸

شکل-۳-۳. نمودار ظرفیت باربری جانبی پیش‌بینی شده توسط روش هانسن نسبت به ظرفیت باربری جانبی واقعی برای داده‌های مورد استفاده قرار گرفته در آموزش و تست شبکه ۷۸

شکل-۳-۴. نمودار ظرفیت باربری جانبی پیش‌بینی شده توسط روش برآمز نسبت به ظرفیت باربری جانبی واقعی برای داده‌های مورد استفاده قرار گرفته در آموزش شبکه ۷۹

شکل ۳-۵. نمودار ظرفیت باربری جانبی پیش بینی شده توسط روش برآمز نسبت به ظرفیت باربری جانبی ۸۰

واقعی برای داده های مورد استفاده قرار گرفته در تست شبکه

شکل ۳-۶. نمودار ظرفیت باربری جانبی پیش بینی شده توسط روش برآمز نسبت به ظرفیت باربری جانبی ۸۰

واقعی برای داده های مورد استفاده قرار گرفته در آموزش و تست شبکه

شکل ۳-۷. نمودار ظرفیت باربری جانبی پیش بینی شده توسط مدل داس و باسودهار نسبت به ظرفیت ۸۱

باربری جانبی واقعی برای داده های مورد استفاده قرار گرفته در آموزش شبکه

شکل ۳-۸. نمودار ظرفیت باربری جانبی پیش بینی شده توسط مدل داس و باسودهار نسبت به ظرفیت ۸۱

باربری جانبی واقعی برای داده های مورد استفاده قرار گرفته در تست شبکه

شکل ۳-۹. نمودار ظرفیت باربری جانبی پیش بینی شده توسط مدل داس و باسودهار نسبت به ظرفیت ۸۲

باربری جانبی واقعی برای داده های مورد استفاده قرار گرفته در آموزش و تست شبکه

شکل ۳-۱۰. نمودار ظرفیت باربری جانبی پیش بینی شده توسط مدل شبکه عصبی نسبت به ظرفیت ۸۳

باربری جانبی واقعی برای داده های مورد استفاده قرار گرفته در آموزش شبکه

شکل ۳-۱۱. نمودار ظرفیت باربری جانبی پیش بینی شده توسط مدل شبکه عصبی نسبت به ظرفیت ۸۳

باربری جانبی واقعی برای داده های مورد استفاده قرار گرفته در تست شبکه

شکل ۳-۱۲. نمودار ظرفیت باربری جانبی پیش بینی شده توسط مدل شبکه عصبی نسبت به ظرفیت ۸۴

باربری جانبی واقعی برای داده های مورد استفاده قرار گرفته در آموزش و تست شبکه

شکل ۳-۱۳. نمودار احتمال تجمعی برای روشهای مختلف پیش بینی ظرفیت باربری جانبی شمع ۸۶

شکل ۳-۱۴. نمودار توزیع نرمال غیر استاندارد ($\mathcal{Q}_p / \mathcal{Q}_m$) حاصل از شبکه عصبی ۸۷

شکل ۳-۱۵. نمودار توزیع نرمال استاندارد شده ($\mathcal{Q}_p / \mathcal{Q}_m$) حاصل از شبکه عصبی ۸۸

فهرست جداول

۳۱	جدول ۱-۱. نتایج آزمایش شمع تحت بار جانبی (رانو و سروش کومار)
۳۲	جدول ۱-۲. ظرفیت باربری جانبی پیش‌بینی شده توسط مدل شبکه عصبی داس و باسودهار
۳۳	جدول ۱-۳. ظرفیت باربری جانبی پیش‌بینی شده به روش هانسن
۳۴	جدول ۱-۴. ظرفیت باربری جانبی پیش‌بینی شده به روش برامز
۴۵	جدول ۲-۱. ساختار مدل‌های شبکه عصبی به کار رفته در این تحقیق
۵۴	جدول ۲-۲. داده‌های مورد استفاده در آموزش شبکه
۵۵	جدول ۲-۳. داده‌های مورد استفاده در تست شبکه
۵۷	جدول ۲-۴. مرتبه اجرای برنامه برای ساختارهای مورد استفاده در آموزش شبکه
۵۸	جدول ۲-۵. میانگین مجموع مربعات خطأ و ضریب همبستگی برای داده‌های آموزش، تعیین اعتبار و آزمون در مدل‌های شبیه‌سازی شده جهت تعیین بهترین مدل با چهارمتغیر به عنوان ورودی (D, L, e, Cu)
۵۹	جدول ۲-۶. ضرایب وزنی و بایاسها برای شبکه عصبی مصنوعی مدل شده در این تحقیق
۶۱	جدول ۲-۷. ضریب همبستگی متغیرهای ورودی و خروجی واقعی
۶۲	جدول ۲-۸. اهمیت نسبی متغیرهای ورودی شبکه بر اساس الگوریتم گارسون
۶۳	جدول ۲-۹. اهمیت نسبی متغیرهای ورودی شبکه بر اساس الگوریتم وزنهای ارتباطی
۶۴	جدول ۲-۱۰. آنالیز حساسیت برای تعیین اهمیت نسبی متغیرهای ورودی
۶۴	جدول ۲-۱۱. مدل‌های شبکه عصبی با کاهش پارامترهای ورودی
۶۶	جدول ۲-۱۲. میانگین مجموع مربعات خطأ و ضریب همبستگی برای داده‌های آموزش، تعیین اعتبار و آزمون در مدل‌های شبیه‌سازی شده جهت تعیین بهترین مدل با سه متغیر به عنوان ورودی
۶۹	جدول ۲-۱۳. ضرایب وزنی و بایاسها برای شبکه عصبی مصنوعی داس و باسودهار
۷۲	جدول ۲-۱۴. ضرایب رگرسیون روابط خطی مربوط به آنالیز رگرسیون

جدول ۳-۱. مقایسه روش‌های مختلف پیش‌بینی ظرفیت باربری جانبی شمع

۷۶

جدول ۳-۲. مقادیر (P50) و (P90) مربوط به روش‌های مختلف پیش‌بینی ظرفیت باربری جانبی شمع

۸۶

فصل اول

شمع تحت بار جانبی

۱-۱. مقدمه

سمعها اغلب تحت بارهای مایل قرار دارند. این بارها برآیند بارهای محوری و جانبی وارد بر شمع هستند. بارهای جانبی ممکن است ناشی از فشار آب ، باد و یا خاک باشد. در گذشته طراحان فکر می کردند که شمع فقط می تواند بار محوری را تحمل کند. آنان در یک گروه شمع برای محاسبه بار محوری وارد بر هر شمع از روش‌های ترسیمی استفاده می کردند و برای اینکه چند ضلعی نیروها بسته شود نیاز به حداقل یک شمع مایل در گروه شمع بود اما امروزه محققان دریافته‌اند که شمعهای قائم علاوه بر بار محوری قابلیت تحمل بار جانبی را نیز دارند و دیگر نیازی به طراحی شمع مایل به مفهوم قبلی نمی باشد ، با این حال اگر ظرفیت برابری جانبی برای تحمل بار جانبی کافی نباشد امروزه نیز از شمعهای مایل استفاده می کنند [۲۶]. در طراحی شمعهای تحت بار جانبی لازم است که ظرفیت سازه‌ای شمع و تغییر شکلهای خاک در قبال بارهای جانبی مد نظر قرار گیرند. بدین منظور لازم است تا شناخت کافی درباره گسیختگی شمع تحت بار جانبی داشته باشیم. ظرفیت حدی جانبی شمع قائم از طرق زیر می تواند محدود شود [۳] :

۱. بار واردہ از ظرفیت خاک تجاوز کند که ماحصل آن جابجایی افقی بزرگ شمع و در نهایت شکست فونداسیون را در بر دارد (معیار ژئوتکنیکی).

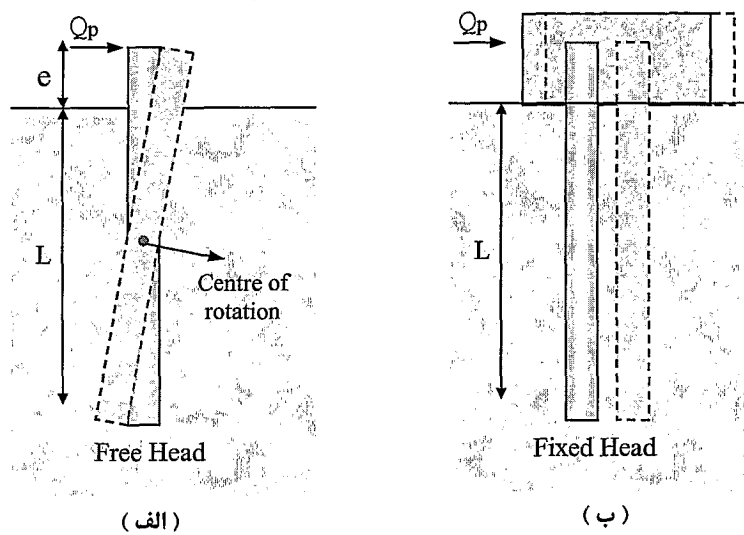
۲. در نتیجه بار جانبی ممکن است که ممان خمشی در شمع موجب بروز تنشهای بزرگی در مصالح شمع شود و شکست سازه را به دنبال داشته باشد (معیار سازه‌ای).

۳. تغییر مکان جانبی بیش از حد سر شمع با مقادیر مجاز روسازه سازگاری نداشته باشد (معیار جابجایی).

بنابراین ظرفیت برابری جانبی شمع بر اثر ظرفیت برشی خاک ، ظرفیت سازه‌ای مقطع و جابجایی جانبی مجاز شمع محدود می گردد. به عبارتی طراحی شمعها تحت اثر بارافقی بر اساس دو معیار صورت می گیرد: ۱- ظرفیت برابری نهایی افقی شمع ۲- تغییر مکان مجاز افقی سر شمع [۲۱ و ۲۲].

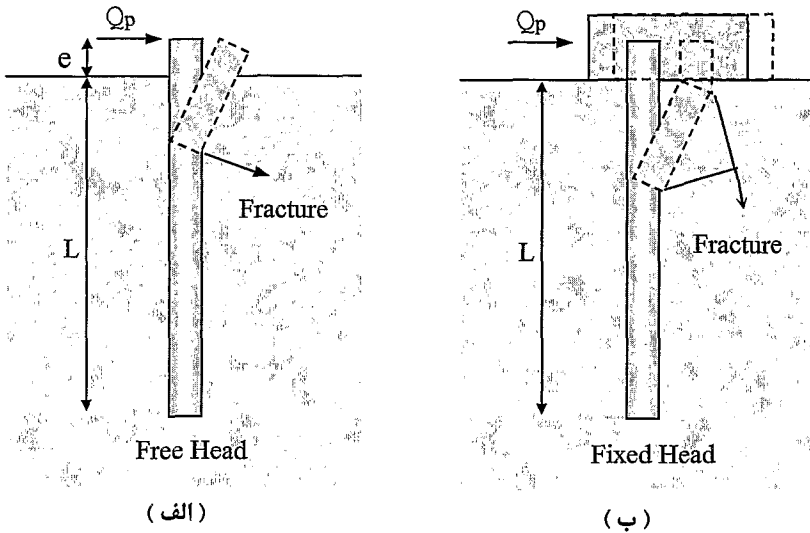
۱-۲. مکانیسم گسیختگی شمعهای تحت بار جانبی

مکانیسم گسیختگی شمعهای کوتاه تحت بار جانبی در مقایسه با شمعهای بلند متفاوت است و به طور کلی به طول شمع ، ظرفیت باربری خاک ، نوع خاک و شرایط مرزی سر شمع (گیرداری یا آزادی سر شمع) بستگی دارد. وقتی که یک شمع تحت بار جانبی قرار می‌گیرد ، در ابتدا سهم عمدت‌های از بار توسط قسمت‌های فوقانی خاک تحمل می‌شود و مقدار کمی از بار به لایه‌های تحتانی انتقال می‌یابد. با افزایش بار خاک لایه‌های بالایی به حالت خمیری می‌رسد و بار بیشتری به لایه‌های تحتانی منتقل می‌شود. اگر شمع کوتاه و سر شمع آزاد باشد ، در اثر اعمال بار جانبی بزرگ ، حول نقطه‌ای در امتداد طول خود دوران می‌کند و خاک مجاور شمع به حالت مقاوم می‌رسد. شمع در این حالت تحت فشار جانبی مقاوم خاک در بالا و پایین نقطه دوران ولی در دو جهت قرینه است گسیختگی زمانی رخ می‌دهد که فشار جانبی خاک در بالا و پایین مرکز دوران از ظرفیت باربری جانبی آن تجاوز کند (شکل ۱-الف). اگر شرایط سر شمع به گونه‌ای باشد که از دوران سر شمع کوتاه جلوگیری کند آنگاه تمام طول شمع به صورت یکنواخت انتقال می‌یابد و تحت فشار جانبی خاک قرار می‌گیرد (شکل ۱-ب).



شکل ۱-۱. مکانیسم گسیختگی شمع کوتاه تحت بار جانبی. الف: شمع سر آزاد ب: شمع سر گیردار

شمدهای بلند انعطاف پذیرند و نحوه گسیختگی خاک برای یک شمع بلند با نحوه گسیختگی یک شمع کوتاه و صلب متفاوت است. ظرفیت باربری جانبی خاک برای این شمدها بزرگ است لذا دوران یا انتقال در شمع به وجود نمی‌آید و گسیختگی زمانی رخ می‌دهد که سازه شمع گسیخته شود (شکل ۱-۲ و ۲-۱). به طور کلی صلبیت و انعطاف‌پذیری شمع به سختی خاک و شمع بستگی دارد ولی در عمل شمدهای با نسبت طول مدفون به قطر بیش از ۱۲ را شمع بلند در نظر می‌گیرند [۱].



شکل ۱-۲. مکانیسم گسیختگی شمع بلند تحت بار جانبی. الف: شمع سر آزاد. ب: شمع سر گیردار

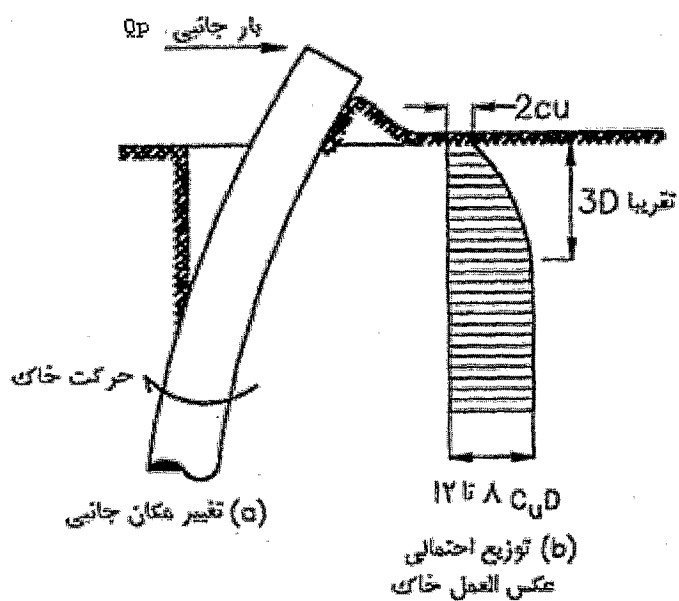
۱-۳. توزیع مقاومت جانبی خاک

برای محاسبه ظرفیت باربری جانبی شمع لازم است تا مقاومت جانبی نهایی خاک و نحوه توزیع آن در امتداد طول شمع را بدانیم. برای خاک کاملاً چسبنده مقاومت جانبی نهایی (P_u) از سطح زمین تا حدود ۳ برابر قطر شمع افزایش می‌باید و پس از آن ثابت باقی می‌ماند(شکل ۱-۳). وقتی که P_u ثابت می‌شود، انهدام جانبی در صفحه افقی باعث خمیری شدن خاک حول شمع می‌شود و مقدار P_u از نظریه خمیری بدست می‌آید. مقدار مقاومت جانبی نهایی ضریبی از چسبندگی خاک است [۲و۱] :

$$P_u = K_c \cdot C_u \quad (1-1)$$

K_c ضریب مقاومت جانبی است که به نسبت چسبندگی شمع به چسبندگی خاک (C_a / C_u) و به مقطع شمع بستگی دارد. مهمترین پارامتر مربوط به مقطع شکل ضریب شکل می‌باشد. در شکل ۱-۴ تأثیر ضریب شکل بر K_c برای $C_a / C_u = 0$ و 1 نشان داده شده است. با دقت

کافی می‌توان مقادیر مربوط به (C_a / C_u) بین صفر و یک را با درونیابی خطی بدست آورد. منحنی-های شکل ۱-۴ با استفاده از نظریه خمیری و برای مقطع شمع لوزی شکل بدست آمده است، اما می‌توان آنرا با همین ضریب شکل به طور محافظه‌کارانه برای شکلهای دیگر بکار برد. با این وجود، در اکثر متون علمی مکانیک خاک، مقاومت جانبی در عمق خاکهای کاملاً چسبنده با هر مقدار C_a / C_u و هر شکل مقطع، ۹ در نظر گرفته می‌شود [۱ و ۲].



شکل ۱-۳. توزیع مقاومت جانبی شمع واقع در خاک چسبنده